

SH 波作用下各向异性介质中裂缝的侧向扩展——摄动方法

刘国利 刘殿魁

(国家地震局工程力学研究所,哈尔滨150080)

摘要 本文利用摄动法求解在 SH 波作用下各向异性介质中半无限长裂缝的侧向扩展问题。摄动参数为裂缝的转向角 $\delta = k' \pi$ 。结果表明,强度因子的零阶摄动解具有 $O[(k' \pi)^2]$ 的精度并指出强度因子与裂缝的长度和扩展速度有关。

关键词 各向异性介质 SH 波 裂缝侧向扩展 摄动法

一、前 言

研究在 SH 波作用下,高速扩展的裂缝出现的分岔现象,是近十几年来在断裂动力学研究中出现的新课题。但是,由于该问题自身的复杂性,给理论和实验研究都带来了许多困难。实验研究表明,在外荷载的作用之下,脆性介质中的裂缝可以极高的速度向前扩展,但其扩展速度却要低于理论上的 Rayleigh 波波速^[1,2,3]。以这样高的速度扩展的裂缝,由于来不及与其周围的介质进行能量交换,而发生失稳,即出现分岔现象(Bifurcation)^[1,2,3]。另外,实验也表明,在高荷载或强度足够大的应力波作用之下,也会出现直裂缝的侧向扩展现象(Kinking)^[1,2,3]。通常用这些实验来模拟断层的活动,以及断层在强大地震波作用下所发生的一些现象。

早在六十年代,人们利用静力模型对裂缝的分岔现象进行了分析^[4]。1974年 Achenbach^[5]对裂缝分岔问题进行了专门研究。八十年代,人们利用半无限长裂缝在分岔或侧向扩展时不具有特征长度的特点,建立了自模拟解法^[6]。此外,人们还利用数值方法,求解了比较复杂的问题^[7]。

最近,人们在研究阶跃波作用下的半无限长裂缝的分岔和侧向扩展问题时,给出了一个非自模拟解^[8,10]。它考虑了裂缝在阶跃波作用下,经过一段延迟时间之后,所发生的分岔与侧向扩展问题。

Achenbach 等人^[8]给出了一种分析裂缝侧向扩展问题的近似方法——摄动法。他们利用裂缝在侧向扩展时,其转向角 δ 的大小对强度因子影响很小这一事实,建立了以转向角 δ 为摄动参数摄动解法。

本文将利用摄动法求解在 SH 波作用之下各向异性介质中裂缝的侧向扩展问题。

• 本课题为国家自然科学基金资助项目。

1990年4月5日收到原稿,1991年2月6日收到修改稿。

二、各向异性介质中 SH 波对半无限长裂缝的散射

1. 反平面剪切运动

我们研究弹性波作用下,各向异性介质中裂缝的侧向扩展问题,其最简单的模型就是反平面剪切运动。若反平面剪切运动发生在 xy 平面内,则位移只有 z 方向的分量 w ,且与 z 轴无关。相应地,应力分量也只有 τ_{xz} 和 τ_{yz} ,其它分量一律为零。若不计体力,则运动方程可写成:

$$\frac{\partial \tau_{xz}}{\partial x} + \frac{\partial \tau_{yz}}{\partial y} = \rho \frac{\partial^2 w}{\partial t^2} \quad (2.1)$$

其中 ρ 为介质的质量密度。若利用各向异性介质中应力与位移的关系:

$$\tau_{xz} = c_{55} \frac{\partial w}{\partial x} + c_{45} \frac{\partial w}{\partial y} \quad (2.2)$$

$$\tau_{yz} = c_{45} \frac{\partial w}{\partial x} + c_{44} \frac{\partial w}{\partial y} \quad (2.3)$$

则方程(2.1)可写成:

$$c_{55} \frac{\partial^2 w}{\partial x^2} + 2c_{45} \frac{\partial^2 w}{\partial x \partial y} + c_{44} \frac{\partial^2 w}{\partial y^2} = \rho \frac{\partial^2 w}{\partial t^2} \quad (2.4)$$

其中 c_{55}, c_{45} 和 c_{44} 为介质的弹性模量。为了保证弹性矩阵的正定性,它们之间应有如下的关系:

$$c_{44} > 0, \quad c_{44}c_{55} - c_{45}^2 > 0 \quad (2.5)$$

将沿 n 方向入射的平面波 $w^{(i)}(c_a t + x \sin \alpha - y \cos \alpha)$ (图 1),其中 c_a 为平面波沿 n 方向的传播速度,代入运动方程(2.4),则可求得 c_a :

$$c_a = [\frac{1}{\rho}(c_{55} \sin^2 \alpha - 2c_{45} \sin \alpha \cos \alpha + c_{44} \cos^2 \alpha)]^{\frac{1}{2}} \quad (2.6)$$

而在一般的情况下,入射的平面 SH 波可写成:

$$w^{(i)}(x, y, t) = H(s_a + x \sin \alpha - y \cos \alpha) \int_0^{s_a + x \sin \alpha - y \cos \alpha} g'(v) dv \quad (2.7)$$

其中, $s_a = c_a t$; $H(\cdot)$ 为 Heaviside 阶跃函数; $g'(v)$ 为任意函数。

2. SH 波对半无限长裂缝的散射

如图 1,入射波 $w^{(i)}$ 在 $t=0$ ($s=0$) 时刻到达裂缝的端点,而在 $t=t_m$ ($s=s_m$) 时刻裂缝开始扩展。我们现在求解在 $t < t_m$ ($s < s_m$) 时刻,SH 波对半无限长裂缝的散射问题。此时,它必须满足如下的初、边值条件:

$$y = 0, x < 0, \tau_{xz} = (c_{44} \cos \alpha - c_{45} \sin \alpha) g' \cdot$$

$$(s + x k \sin \alpha) H(s + x k \sin \alpha) \quad (2.8)$$

$$x \geq 0, \quad w = 0 \quad (2.9)$$

和

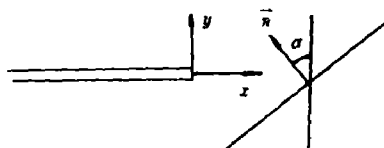


图 1 SH 波被半无限长裂缝散射

Fig. 1 Scattering of SH-wave by
a semi-infinite crack

$$(s=0 \quad w(x,y;0) = \frac{\partial w(x,y;0)}{\partial t} = 0 \quad (2.10)$$

其中

$$s=c_7 t, \quad k=c_7/c\alpha, \quad c_7=[(c_{44}c_{55}-c_{45}^2)/c_{44}\rho]^{\frac{1}{2}}$$

如果在 $y=0$ 的表面上, 作用的应力为已知, 即为 $\tau_r(x,0;s)=\tau(x,s)$, 则可用 Green 函数法来求得 $y \geq 0$ 的半空间中任一点的位移。它们是^[11]:

$$w(x_0, y_0; s_0) = \frac{1}{\pi\mu} \iint_{\Omega} \frac{\tau(x, s)}{R} dx ds \quad (2.11)$$

其中 $\mu=(c_{44}c_{55}-c_{45}^2)^{\frac{1}{2}}$, $R^2=(s_0-s)^2+r^{\star 2}=(x_0^*-x)^2+y_0^{\star 2}$ 和 $x_0^*=x_0-\frac{c_{45}}{c_{55}}y_0$; $y_0^*=\frac{(c_{44}c_{55}-c_{45}^2)^{\frac{1}{2}}}{c_{44}}y_0$, 积分(2.11)式中 Ω 为 $\tau(x,s)$ 在 xy 平面上落在 $(s-s_0)-[(x_0-x)^2+y_0^{\star 2}]^{\frac{1}{2}} \geq 0$ 内之部分。当 $y_0=0$ 时, Ω 退化为 $x-s$ 平面上的一个三角形区域。如果引进新变量:

$$\xi = \frac{s-x}{\sqrt{2}}, \quad \eta = \frac{s+x}{\sqrt{2}} \quad (2.12)$$

则式(2.11)可写成:

$$w(x_0, y_0; s_0) = \frac{1}{\pi\mu} \int \frac{d\xi}{(\xi_0 - \xi)^{1/2}} \int \frac{\tau(\xi, \eta) d\eta}{(\eta_0 - \eta)^{1/2}} \quad (2.13)$$

进一步则可利用裂缝前端位移为零的条件, 求得裂缝端点前的未知应力 $\tau(x,s)$ 。如图 2, 若计算 (ξ_0, η_0) 点之位移, 则积分区域为图中之阴影部份, 所以有:

$$(c_{44}\cos\alpha - c_{45}\sin\alpha) \int_0^{\xi_0} \frac{d\xi}{(\xi_0 - \xi)^{1/2}} \int_{-\kappa\xi}^{\xi} \frac{g(\xi, \eta) d\eta}{(\eta_0 - \eta)^{1/2}} + \int_0^{\xi_0} \frac{d\xi}{(\xi_0 - \xi)^{1/2}} \int_{\xi}^{\eta_0} \frac{\tau(\xi, \eta) d\eta}{(\eta_0 - \eta)^{1/2}} = 0 \quad (2.14)$$

其中 $\kappa=(1-k\sin\alpha)/(1+k\sin\alpha)$ 。

式(2.14)还可以写成:

$$\int_{\xi}^{\eta_0} \frac{\tau(\xi, \eta) d\eta}{(\eta_0 - \eta)^{1/2}} = (c_{45}\sin\alpha - c_{44}\cos\alpha) \int_{-\kappa\xi}^{\xi} \frac{g(\xi, \eta) d\eta}{(\eta_0 - \eta)^{1/2}} \quad (2.15)$$

式(2.15)为一 Abel 型积分方程, 则解为:

$$\tau(\xi, \eta) = \frac{(c_{45}\sin\alpha - c_{44}\cos\alpha)}{\pi(\eta - \xi)^{1/2}} \int_{-\kappa\xi}^{\xi} \frac{g(\xi, u)(\xi - u)^{1/2} du}{(\eta - u)} \quad (2.16)$$

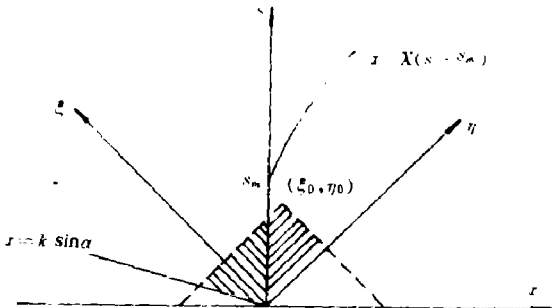


图 2 $r-s$ 平面上的积分区域

Fig. 2 Integration area in the $r-s$ plane

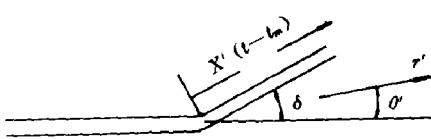


图 3 裂缝的侧向扩展

Fig. 3 Kinking of the Crack

3. 裂缝尖端附近的应力场

在求解裂缝前端的应力场之后,则可以求出下半平面中的位移和应力。

如图3,在任一侧面上 $\theta=\delta$ 上,其散射应力 $\tau_{\theta z}^{(s)}$ 可写成:

$$\tau_{\theta z}^{(s)} = \tau_{y z}^{(s)} \cos \theta - \tau_{x z}^{(s)} \sin \theta = \tau_0^{(s)}(r, \theta, s, \alpha) \quad (2.17)$$

而入射波在 $\theta=\delta$ 面上的入射应力 $\tau_{\theta z}^{(i)}$,同样可以写成:

$$\begin{aligned} \tau_{\theta z}^{(i)} &= \tau_y^{(i)} \cos \theta - \tau_x^{(i)} \sin \theta = [c_{45} \sin(\alpha + \theta) - c_{44} \cos \alpha \cos \theta - \\ &c_{55} \sin \alpha \sin \theta] g[s + rk \sin(\alpha - \theta)] H[s + rk \sin(\alpha - \theta)] \\ &= \tau_0^{(i)}(r, \theta, s, \alpha) \end{aligned} \quad (2.18)$$

迭加式(2.17)和(2.18),则可求得 $\theta=\delta$ 截面上的总应力 $\tau_{\theta z}^{(t)}$:

$$\tau_{\theta z}^{(t)} = \tau_{\theta z}^{(i)} + \tau_{\theta z}^{(s)} = \tau_0^{(i)}(r, \theta, s, \alpha) + \tau_0^{(s)}(r, \theta, s, \alpha) \quad (2.19)$$

三、半无限长裂缝侧向扩展的摄动解

1. 控制方程

下面我们将求解各向异性介质中半无限长裂缝在SH波作用下的侧向扩展问题。 $s \geq s_m$ 时,裂缝在与原裂缝面成 $\delta=k'\pi$ 角的方向上扩展,如图3所示。其中 $X'(s-s_m)$ 是新裂缝面的长度。在极坐标 $x=r' \cos \theta'$, $y'=r' \sin \theta'$ 中,裂缝面上的条件可写成:

$$\theta' = \pm \pi, \quad r' > 0, \quad \tau_{\theta z} = 0 \quad (3.1)$$

$$\theta' = k'\pi \pm 0, \quad 0 < r' \leq X'(s-s_m), \quad \tau_{\theta z} = -\tau^{(i)}(r, \theta, \delta, \alpha) \quad (3.2)$$

和初始条件:

$$t = 0, \quad w(r', \theta', 0) = \frac{\partial w(r', \theta', 0)}{\partial t} = 0 \quad (3.3)$$

为了求解上述的初边值问题,我们首先引入坐标变换:

$$\begin{cases} x' = x - (c_{45}/c_{44})y \\ y' = [(c_{44}c_{55} - c_{45}^2)^{1/2}/c_{44}]y \end{cases} \quad (3.4)$$

利用坐标变换,控制方程(2.4)可以写成:

$$\frac{\partial^2 w}{\partial x'^2} + \frac{\partial^2 w}{\partial y'^2} = \frac{\rho'}{\mu} \frac{\partial^2 w}{\partial t^2} \quad (3.5)$$

其中 $\rho' = (c_{44}/\mu)\rho$,如果在坐标系 (x', y') 中,再次引入极坐标 $x' = r \cos \theta', y' = r \sin \theta'$,则方程(3.5)可以写成为:

$$\frac{\partial^2 w}{\partial r^2} + \frac{1}{r} \frac{\partial w}{\partial r} + \frac{1}{r^2} \frac{\partial^2 w}{\partial \theta^2} = s_r^2 \frac{\partial^2 w}{\partial t^2} \quad (3.6)$$

其中 $s_r^2 = \rho'/\mu$ 。

在坐标系 (r, θ) 中,裂缝面上的边界条件(3.1)~(3.2)可以写成:

$$\theta = \pm \pi, \quad 0 < r, \quad \frac{\mu}{r} \frac{\partial w}{\partial \theta} = 0 \quad (3.7)$$

$$\theta = k\pi \pm 0, 0 < r < X(s-s_m), \frac{\mu}{r} \frac{\partial w}{\partial \theta} = -\tau^{(i)} \quad (3.8)$$

其中:

$$\operatorname{tgk}\pi = \frac{\mu}{c_{44}} \operatorname{tgk}'\pi / (1 - \frac{c_{45}}{c_{44}} \operatorname{tgk}'\pi)$$

$$X(s - s_m) = X'(s - s_m) \left[\cos^2 k' \pi - \frac{c_{45}}{c_{44}} \sin 2k' \pi + \frac{c_{55}}{c_{44}} \sin^2 k' \pi \right]^{\frac{1}{2}}$$

和：

$$\tau^{(1)} = \frac{c_{44} \tau'^{(1)}}{[\mu^2 \sin^2 k' \pi + (c_{44} \cos k' \pi - c_{45} \sin k' \pi)^2]^{1/2}}$$

这样，我们就在坐标系 (r, θ) 中得到求解各向异性介质中裂缝侧向扩展问题的控制方程 (3.6) 和相应的边界条件 (3.7)~(3.8)。因为它们与文献 [8] 中给出的求解各向同性介质中 I 型裂缝侧向扩展问题的方程组具有相同的数学形式，所以我们可以采用文献 [8] 给出的方法——摄动法进行求解。

2. 摄动法

首先，我们引入映射变换^[8]：

$$\psi = \frac{k}{\pi(1 - k^2)} \theta^2 + \theta - \frac{k\pi}{1 - k^2} \quad (3.9)$$

或者

$$\theta = -\frac{k}{\pi} \psi^2 + \psi + k\pi \quad (3.10)$$

这个变换可将 $\theta = -\pi, k\pi$ 和 π 映射为 $\psi = -\pi, 0$ 和 π 。因此，在坐标系 (r, ψ) 中，侧向扩展的裂缝被映射成裂缝的直向扩展问题。

利用映射变换 (3.9) 或 (3.10)，控制方程 (3.6) 和边界条件 (3.7) 和 (3.8) 可以写成：

$$\begin{aligned} & \frac{\partial^2 w}{\partial r^2} + \frac{1}{r} \frac{\partial w}{\partial r} + \frac{1}{r^2} \frac{\partial^2 w}{\partial \psi^2} - s_r^2 \frac{\partial^2 w}{\partial \psi^2} \\ &= \frac{2k}{\pi(1 - k^2)} \frac{1}{r^2} \left\{ \frac{\partial w}{\partial \psi} + 2(\psi + \frac{k\pi}{1 - k^2}) \frac{\partial^2 w}{\partial \psi^2} \right\} \end{aligned} \quad (3.11)$$

和

$$\psi = \pm \pi, 0 < r, \frac{\mu}{r} (1 \pm \frac{2k}{1 - k^2}) \frac{\partial w}{\partial \psi} = 0 \quad (3.12)$$

$$\psi = 0, 0 < r < X(s - s_m), \frac{\mu}{r} (1 + \frac{2k^2}{1 - k^2}) \frac{\partial w}{\partial \psi} = -\tau^{(1)} \quad (3.13)$$

由式 (3.8) 知，当 $k' \pi$ 很小时， $k\pi$ 同样也很小。因此，可取 $k\pi$ 为摄动参数，用摄动法求解上述问题。此时，位移函数 $w(r, \psi, t)$ 可以写成：

$$w(r, \psi, t) = w^{(0)}(r, \psi, t) + k\pi w^{(1)}(r, \psi, t) + \dots \quad (3.14)$$

按照强度因子的定义：

$$K_1(k, t) = \lim_{[r - X(s - s_m)] \rightarrow 0} \{2\pi[r - X(s - s_m)]^{\frac{1}{2}} \tau_{\theta z}(r, \psi, t)\} \quad (3.15)$$

则显然：

$$K_1 = K_1^{(0)} + k\pi K_1^{(1)} + \dots \quad (3.16)$$

代入 (3.14) 至 (3.11)~(3.13) 式，并比较等式两边 $k\pi$ 的零次幂项，则有：

$$\frac{\partial^2 w^{(0)}}{\partial r^2} + \frac{1}{r} \frac{\partial w^{(0)}}{\partial r} + \frac{1}{r^2} \frac{\partial^2 w^{(0)}}{\partial \psi^2} = \frac{\partial^2 w^{(0)}}{\partial s^2} \quad (3.17)$$

和：

$$\psi = \pm \pi, 0 < r, \frac{\mu}{r} \frac{\partial w^{(0)}}{\partial \psi} = 0 \quad (3.18)$$

$$\psi = \pm 0, 0 < r < X(s - s_m), \frac{\mu}{r} \frac{\partial w^{(0)}}{\partial \psi} = \tau^{(0)}(r, s) \quad (3.19)$$

按照文献[11],上述问题给出的裂缝前端的应力 $\tau^{(0)}(r, s)$ 可以写成:

$$\tau^{(0)}(r, s) = -\frac{1}{\pi[r - X(s_1 - s_m)]} \int_0^{X(s_1 - s_m)} \frac{\tau^{(0)}(v, s - r + v)[X(s_1 - s_m) - v]^{\frac{1}{2}}}{r - v} dv \quad (3.20)$$

其中 s_1 由下式决定:

$$s - r = s_1 - X(s_1 - s_m) \quad (3.21)$$

而裂缝尖端附近的应力为:

$$\tau^{(0)}(r, s) = -\frac{1}{\pi} \frac{[1 - \frac{dX}{ds}]^{\frac{1}{2}}}{[r - X(s - s_m)]^{\frac{1}{2}}} \int_0^{X(s - s_m)} \frac{\tau^{(0)}[v, s - X(s - s_m) + v]}{[X(s - s_m) - v]^{\frac{1}{2}}} dv \quad (3.22)$$

按式(3.15),则强度因子 $K_I^{(0)}$ 为:

$$K_I^{(0)} = -\sqrt{\frac{2}{\pi}} (1 - \frac{dX}{ds})^{\frac{1}{2}} \int_0^{X(s - s_m)} [X(s - s_m) - v]^{-\frac{1}{2}} \tau^{(0)}[v, s - X(s - s_m) + v] dv \quad (3.23)$$

同样,若比较摄动方程中 $k\pi$ 的一次幂项,则有:

$$\begin{aligned} \frac{\partial^2 w}{\partial r^2} + \frac{1}{r} \frac{\partial w^{(1)}}{\partial r} + \frac{1}{r^2} \frac{\partial^2 w^{(1)}}{\partial \psi^2} - s_r^2 \frac{\partial^2 w}{\partial t^2} \\ = -\frac{1}{r^2} \frac{2}{\pi^2} \left[\frac{\partial w^{(0)}}{\partial \psi} + 2\psi \frac{\partial^2 w^{(0)}}{\partial \psi^2} \right] \end{aligned} \quad (3.24)$$

和:

$$\psi = \pm \pi, 0 < r, \frac{\mu}{r} \frac{\partial w^{(1)}}{\partial \psi} = 0 \quad (3.25)$$

$$\psi = \pm 0, 0 < r < X(s - s_m), \frac{\mu}{r} \frac{\partial w^{(1)}}{\partial \psi} = 0 \quad (3.26)$$

因为零阶摄动的位移解 $w^{(0)}(r, \psi, t)$ 是关于 $\psi=0$ 的反对称场,而 $\frac{\partial w^{(0)}}{\partial \psi}$ 和 $\psi \frac{\partial^2 w^{(0)}}{\partial \psi^2}$ 是对称场,所以一阶摄动解是关于 $\psi=0$ 的一个对称场。所以,我们有 $K_I^{(1)}=0$,这样:

$$K_I = K_I^{(0)} + 0[(k\pi)^2] \quad (3.27)$$

至此,我们求得了各向异性介质中裂缝扩展问题的摄动解。当取 $c_{44}=c_{55}, c_{45}=0$ 时,上述结果就退化为各向同性介质的情况^[8]。

参 考 文 献

- [1] Ravi-Chandar K, Knauss W G. Int J Fracture, 1984, 25: 247~262
- [2] Ravi-Chandar K, Knauss W G. Int J Fracture, 1984, 26: 65~80
- [3] Ravi-Chandar K, Knauss W G. Int J Fracture, 1982, 20: 209~212
- [4] Sih G C. J Appl Mech, 1965, 32: 51~58
- [5] Achenbach J D, Varatharajula V K. Quart Appl Math, 1974, 32: 123~135

- [6] Burgers P, Dempsey J P. *J Appl Mech*, 1982, 49: 366~370
- [7] Burgers P. *J Appl Mech*, 1982, 49: 371~376
- [8] Kuo M K, Achenbach J D. *Int J Solids Struct*, 1985, 21: 273~298
- [9] Ma C C, Burgers P. *Int J Solids Struct*, 1986, 22: 883~899
- [10] Ma C C, Burgers P. *J Appl Mech*, 1988, 55: 111~119
- [11] 刘殿魁, 爆炸与冲击, 1990, 10(2): 97~106

KINKING CRACK UNDER SH-WAVE IN ANISOTROPIC MEDIA —— PERTURBATION METHOD

Liu Guoli Liu Diankui

(Institute of Engineering Mechanics, State Seismological Bureau, Harbin, 150080)

ABSTRACT The Perturbation method is used in this paper to solve the problem of a semi-infinite crack of mode II in an anisotropic media kinked by a SH-wave. The kinking angle $\delta = k\pi$ is used as the perturbation parameter. The solution indicates that the intensity factor of the zero order perturbation possesses the precision of $O[(k'\pi)^2]$ and the intensity factor is a function of the kinking length and the kinking speed of the crack.

KEY WORDS anisotropic media ,SH-wave,kinking,perturbation method